

РАДИОФИЗИКА

УДК 533.9:537.5

ТЕОРИЯ ПОПЕРЕЧНО-НЕОДНОРОДНОГО СИЛЬНОТОЧНОГО ПУЧКОВО-ПЛАЗМЕННОГО УСИЛИТЕЛЯ В РЕЖИМЕ КОЛЛЕКТИВНОГО ЭФФЕКТА ЧЕРЕНКОВА

М. В. Кузелев, В. А. Панин

(кафедра физической электроники)

Работа посвящена как линейной, так и нелинейной теории усиления электромагнитной плазменной волны в поперечно-неоднородной пучково-плазменной системе общего вида в режиме коллективного эффекта Черенкова. Аналитическими и численными методами рассчитаны оптимальная длина и эффективность усиления, выходящая мощность электромагнитного излучения.

В последнее время в связи с реализацией мощных плазменных СВЧ-усилителей и генераторов электромагнитного излучения имеется определенный интерес к теоретическим исследованиям поперечно-неоднородных пучково-плазменных систем [1—3].

Известно, что усиление плазменных электромагнитных волн реализуется в режиме коллективного эффекта Черенкова, когда пучок и плазма достаточно далеко разведены в поперечном сечении волновода [4]. Именно эта ситуация и рассмотрена в работе. Подробно исследован случай круглого металлического волновода с тонкими трубчатыми пучком и плазмой. Показано, что в зависимости от тока пучка механизм нелинейной стабилизации определяется разными факторами. Получено общее аналитическое решение задачи (для произвольных токов) и определены важнейшие характеристики усилителя.

Рассмотрим сначала для общности волновод произвольного сечения, в котором находятся полностью замагниченные продольным магнитным полем тонкие пучок электронов и плазма с невозмущенными плотностями вида

$$n_{0b} = S_b \delta(r_{\perp} - r_b) n_b, \quad n_{0p} = S_p \delta(r_{\perp} - r_p) n_p. \quad (1)$$

Здесь r_{\perp} — координата в поперечном сечении волновода, r_b и r_p определяют местоположение пучка и плазмы в волноводе, а S_b и S_p — площади их поперечных сечений.

В постановке граничной задачи об усилении колебаний, подаваемых на вход волновода ($z=0$), нелинейное взаимодействие тонких пучка и плазмы в режиме коллективного эффекта Черенкова описывается следующей системой интегро-дифференциальных уравнений [5]:

$$\begin{aligned} \frac{dy}{d\xi} &= \eta, \\ \frac{d\eta}{d\xi} &= (1 + \mu\eta)^{3/2} \left\{ \frac{i}{2} \left[\exp\{-iy\} \left(1 - i\mu \frac{d}{d\xi} \right) \rho - \text{к. с.} \right] + \right. \\ &\left. + \frac{1}{2} v (e \exp\{-iy - i\eta_0 \xi\} + \text{к. с.}) \right\}, \end{aligned} \quad (2)$$

$$\frac{d\varepsilon}{d\xi} = \nu\rho \exp\{i\eta_0\xi\},$$

$$\rho = \frac{1}{\pi} \int_0^{2\pi} \exp\{iy\} dy_0,$$

где ρ — амплитуда возмущений плотности заряда пучка, ε — безразмерная амплитуда, определяющая поперечную компоненту электрического поля усиливаемой плазменной волны, y и η — лагранжевы координаты электронов пучка,

$$\xi = \frac{\omega}{u} \frac{\mu}{2\gamma^2} z, \quad (3)$$

z — координата вдоль оси волновода, u — скорость невозмущенного пучка, а $\gamma = (1 - u^2/c^2)^{-1/2}$.

Система уравнений (2) получена и исследована в работе [6] на примере модельных систем в постановке начальной задачи* и зависит от трех параметров: расстройки η_0 (она характеризует отклонение фазовой скорости невозмущенной плазменной волны от скорости пучка u), параметра сильноточности μ и величины ν , определяющей режим взаимодействия пучка с плазмой. Для рассматриваемой здесь модели поперечно-неоднородного пучково-плазменного усилителя эти параметры имеют вид

$$\eta_0 = \frac{1}{\mu} \left(1 - \frac{1}{\alpha_p}\right), \quad \mu = (4\gamma^4\alpha_b)^{1/2}, \quad \nu = \tilde{\alpha}^{1/2}\mu^{-1/2}(1 - \mu\eta_0), \quad (4)$$

где для волновода произвольного сечения

$$\alpha_b = \frac{\omega_b^2 R^2}{u^2 \gamma^6} \frac{S_b}{S_w} R_b(x), \quad \alpha_p = \frac{\omega_p^2 R^2}{u^2 \gamma^2} \frac{S_p}{S_w} R_p(x), \quad \tilde{\alpha} = \frac{G^2}{R_b R_p},$$

$$R_j(x) = \sum_{n=1}^{\infty} \frac{1}{k_{\perp n}^2 R^2 + x^2} \frac{\varphi_n^2(\mathbf{r}_j)}{\|\varphi_n\|^2}, \quad j = b, p, \quad (5)$$

$$G(x) = \sum_{n=1}^{\infty} \frac{1}{k_{\perp n}^2 R^2 + x^2} \frac{\varphi_n(\mathbf{r}_b) \varphi_n(\mathbf{r}_p)}{\|\varphi_n\|^2}, \quad x = \frac{\omega R}{u\gamma}.$$

Здесь R — характерный поперечный размер волновода, S_w — площадь его поперечного сечения, $\varphi_n(\mathbf{r}_j)$ — собственные функции волновода в месте нахождения пучка или плазмы, $\|\varphi_n\|$ — нормы собственных функций, а $k_{\perp n}$ — поперечные волновые числа. Зависимость геометрических факторов R_j и G от x (т. е. фактически от частоты ω) есть следствие нелинейного закона дисперсии пучковых и плазменных волн. Явный вид выражений R_j и G для конкретной геометрии будет приведен ниже.

Величина α , определяющая ν , представляет собой параметр связи и характеризует режим взаимодействия пучка и плазмы в зависимости от их взаимного положения в поперечном сечении волновода. Так, если местоположения пучка и плазмы совпадают, то, как видно из (5), $\alpha = 1$ (режим сильного взаимодействия [5]), а когда пучок и плазма

* Именно этим и объясняется некоторое различие в знаках между системой (2) и уравнениями из [5, 6].

достаточно далеко разведены в пространстве и реализуется коллективный эффект Черенкова, то

$$\tilde{\alpha} \ll 1. \quad (6)$$

В дальнейшем считаем неравенство (6) выполненным. При этом параметр ν может быть порядка 1.

Отметим, что уравнения (2) получены в рамках модели линейной плазмы. Такой подход справедлив, если смещение электронов плазмы в продольном электрическом поле E_z мало по сравнению с длиной волны $k_z^{-1} \approx u/\omega$, т. е. $\lambda_p = (e|E_z|/mk_z u^2) \ll 1$ [5]. Используя безразмерные переменные, критерий линейности плазмы запишем в виде

$$\lambda_p = \frac{1}{2} \tilde{\alpha}^{1/2} \frac{\mu^{3/2}}{4\gamma} |\varepsilon'|, \quad (7)$$

где $\varepsilon' = \nu\varepsilon + i(1 - i\mu d/d\xi)\rho$ — величина, пропорциональная продольной компоненте электрического поля, что хорошо видно из второго уравнения системы (2), в которое по смыслу входит именно продольное поле. Ниже будут приведены числовые значения критерия линейности плазмы.

Система уравнений (2) имеет следующий первый интеграл:

$$\frac{1}{2\pi} \int_0^{2\pi} \frac{dy_0}{\sqrt{1+\mu\eta}} + \frac{\mu^2}{8} |\rho|^2 + \frac{\mu}{8} |\varepsilon|^2 = \text{const}, \quad (8)$$

где первое слагаемое в левой части представляет собой изменение потока кинетической энергии электронов пучка, а второе и третье — потоки электромагнитной энергии пучковых и плазменных волн соответственно. Считая далее, что в худшем варианте электромагнитную энергию можно вывести лишь из плазмы, введем величину эффективности преобразования кинетической энергии электронов пучка в энергию излучения, или КПД усиления, в виде

$$K = \frac{\mu}{8} (|\varepsilon|^2 - |\varepsilon_0|^2), \quad (9)$$

где $\varepsilon_0 = \varepsilon|_{\xi=0}$.

В наиболее интересной с практической точки зрения геометрии (круглый металлический волновод радиуса R с тонкими трубчатыми пучком и плазмой) $\varphi_n = J_0(k_{\perp n} r)$, где $k_{\perp n} = \mu_{0n}/R$, а μ_{0n} — корни функции Бесселя нулевого порядка. С помощью формулы Кнезера—Зоммерфельда [7] бесконечные суммы в геометрических факторах вычисляются и величины R_b , R_p , G и $\tilde{\alpha}$ записываются в виде

$$R_j(x) = \frac{1}{2} I_0^2(xa_j) T_j, \quad j = b, p, \quad (10)$$

$$G(x) = \frac{1}{2} I_0(xa_b) I_0(xa_p) \begin{cases} T_b, & a_p \leq a_b, \\ T_p, & a_p \geq a_b, \end{cases}$$

$$\tilde{\alpha} = \begin{cases} \frac{T_b}{T_p}, & a_p \leq a_b, \\ \frac{T_p}{T_b}, & a_p \geq a_b, \end{cases}$$

$$T_j = \frac{K_0(xa_j)}{I_0(xa_j)} \frac{K_0(x)}{I_0(x)},$$

где K_0, I_0 — функции Бесселя мнимого аргумента, $a_b=r_b/R$, $a_p=r_p/R$, а r_b и r_p — радиусы тонких трубчатых пучка и плазмы соответственно.

Параметр сильноточности μ , зависящий через a_b от плотности пучка и определяющий механизм усиления плазменных волн, удобно выразить через ток пучка J_b и предельный вакуумный ток J_0 [5]:

$$\mu = \left[4 \frac{J_b}{J_0} \gamma^2 \left(\frac{\gamma^{2/3} - 1}{\gamma^2 - 1} \right)^{3/2} \frac{R_b(x)}{R_b(0)} \right]^{1/2}, \quad (11)$$

причем в пределе малых частот ($x \ll 1$) и больших γ величина $\mu = (4J_b/J_0)^{1/2}$. Отметим, что при $a \ll 1$, когда пучок и плазма достаточно далеко разведены в поперечном сечении волновода, условия транспортировки пучка определяются следующими факторами. При $r_b < r_p$ максимально возможный ток пучка соответствует предельному вакуумному току для волновода с $R=r_p$, и плазма выполняет в этом случае роль металлической поверхности. Если $r_b > r_p$, то максимально возможный ток для транспортировки пучка вычисляется из модели двух коаксиальных металлических поверхностей. При этом $J_{\max} \sim 2 \div 3 J_0$. Мы здесь пользуемся понятием предельного вакуумного тока тонкого трубчатого пучка исходя больше из традиций, сложившихся как в вакуумной, так и в плазменной СВЧ-электронике.

В линейном приближении, когда $\varepsilon \sim \varepsilon_0 \exp(i\delta\xi)$, где в соответствии с (3) $\delta = (u/\omega)(2\gamma^2/\mu)\delta k_z$, а δk_z — размерный коэффициент усиления, из системы уравнений (2) следует дисперсионное уравнение [4]

$$[\delta^2 - (1 + \mu\delta)](\delta + \eta_0) = -v^2. \quad (12)$$

Из квадратной скобки дисперсионного уравнения (12) легко находят-ся величины

$$\delta_{1,2} = \frac{1}{2} \mu \left(1 \pm \sqrt{1 + \frac{4}{\mu^2}} \right), \quad (13)$$

которые определяют спектры медленной и быстрой пучковых волн, причем в граничной задаче знак «+» соответствует медленной волне. Для слаботочных пучков, когда $J_b \ll J_0$, то $\delta_{1,2} \approx \pm 1$, а когда $J_b \gg J_0$, то $\delta_1 \approx \mu$, $\delta_2 \approx -1/\mu$ [4].

Известно, что усиление в режиме коллективного эффекта Черенкова относится к взаимодействию типа волна—волна и реализуется, когда фазовая скорость невозмущенной плазменной волны v_{ph} порядка фазовой скорости медленной пучковой волны v_b или в переменных (4) $\eta_0 \approx -\delta_1$. Отметим, что при точном равенстве реализуется режим максимального усиления. В этом случае, используя представление $\delta = \delta_1 + \delta'$, найдем из (12) мнимую часть коэффициента усиления:

$$\delta' = -i \frac{v}{(4 + \mu^2)^{1/4}}. \quad (14)$$

Выражение (14) справедливо, если выполнено неравенство

$$v \ll (4 + \mu^2)^{3/4}. \quad (15)$$

При нарушении неравенства (15) коллективный эффект Черенкова невозможен и происходит переход от взаимодействия типа волна—волна к взаимодействию типа волна—частица [4].

В случае слаботочных пучков ($\mu \ll 1$ или $J_b \ll J_0$) формула (14) упрощается и коэффициент усиления записывается в виде [4]

$$\delta = 1 - i v / \sqrt{2}, \quad (16)$$

а неравенство (15) преобразуется к следующему:

$$v \ll 2 \sqrt{2}. \quad (17)$$

В противоположном пределе, когда $\mu \gg 1$, имеем

$$\delta = \mu - i v / \sqrt{\mu} \quad (18)$$

и соответствующее условие применимости формулы (18)

$$v \ll \mu^{3/2}. \quad (19)$$

Нелинейная стабилизация усиления в режиме коллективного эффекта Черенкова, как показано в [5], определяется тремя физическими эффектами, а конкуренция их между собой сильно зависит от параметров μ и v (или от тока пучка J_b и параметра связи $\tilde{\alpha}$). Рассмотрим наиболее интересные предельные случаи, когда преимущественное влияние имеет только один из возможных механизмов.

Если $v \ll 1$ (это не означает, что нарушено условие (6)), то при довольно широком диапазоне изменения параметра μ (важно, чтобы не было нарушено неравенство (15)) усиление стабилизируется вследствие захвата электронов полем медленной пучковой волны и ее опрокидывания [5]. Исследование системы уравнений (2) в этом случае возможно только численными методами. Расчеты проводились при следующих фиксированных параметрах: $\gamma = 2$; $R = 1,8$ см; $r_p = 0,9$ см ($a_p = 0,5$); $\omega_p = 25 \cdot 10^{10}$ с⁻¹; $\omega = 7,78 \cdot 10^{10}$ с⁻¹ ($x = 2,7$); $r_b = 1,44$ см ($a_b = 0,8$), которые соответствуют реальной экспериментальной ситуации [8]. При этом ток пучка является свободным параметром.

В случае, когда $(J_b/J_0) = 0,1$ ($\mu = 0,31$; $v = 0,91$), при входной мощности $P_0 \approx 180$ кВт оптимальная длина усиления составляет $z_{\max} \approx 63$ см, $K_{\max} \approx 23\%$, а выходная мощность излучения $P_{\text{ex}} \approx 200$ МВт. При увеличении тока, когда $J_b/J_0 = 0,5$ ($\mu = 0,7$; $v = 0,79$), и неизменной входной мощности P_0 , имеем $z_{\max} \approx 52$ см, $K_{\max} \approx 31\%$, а $P_{\text{ex}} \approx 1300$ МВт. И наконец, если $(J_b/J_0) = 1$ ($\mu = 0,98$; $v = 0,77$), при $P_0 \approx 180$ кВт имеем $z_{\max} \approx 48$ см, $K_{\max} \approx 4\%$, а $P_{\text{ex}} \approx 340$ МВт. Уменьшение КПД, а следовательно, и выходной мощности в последнем случае связано с тем, что в данной серии расчетов частота x фиксировалась и при изменении тока условие максимального усиления ($\eta_0 = -\delta_1$) нарушалось. Во всех расчетах $\tilde{\alpha} \approx 0,15$, а критерий линейности плазмы выполняется: $\lambda_p \sim 0,1$.

В случае, когда параметр $v \ll 1$, то независимо от величины μ процесс усиления плазменной волны стабилизируется эффектом нелинейного сдвига частоты [9]. Это соответствует учету в уравнениях (2) лишь нелинейностей кубического типа и позволяет получить аналитическое решение задачи [10]. Отметим, что в зависимости от тока пучка J_b (или параметра μ) кубические нелинейности имеют различное происхождение. Так, для слаботочных пучков ($J_b \ll J_0$) основной вклад в нелинейный сдвиг частоты дает торможение пучка [5, 10, 11], а в противоположном пределе больших токов стабилизация усиления определяется в основном изменением импульса или релятивистской зависимостью частоты ленгмюровских колебаний пучка от их амплитуды [6, 11]. Для промежуточных значений токов оба механизма дают вклад в нелинейную динамику усиления.

Для получения уравнений, содержащих лишь кубические нелинейности, используем метод разложения по траекториям и импульсам электронов, предложенный в работах [10, 11]. Введем импульс электрона

$$p = (1 + \mu\eta)^{-1/2} \quad (20)$$

и представим его координату и импульс в виде [10, 11]

$$\begin{aligned} y &= y_0 + w(\xi) + \tilde{y}(\xi, y_0), \quad |\tilde{y}| \ll 1, \\ p &= \langle p \rangle + (1/2)\mu [A(\xi) \exp\{-iy\} + \text{к. с.}], \end{aligned} \quad (21)$$

где $w(\xi)$ и $\langle p \rangle$ описывают постоянное смещение и средний импульс электрона соответственно, а \tilde{y} и $A(\xi)$ — их осцилляции. Подставим представления (20), (21) в уравнения (2), проинтегрируем с помощью теории вычетов по y_0 и, производя далее разложение по амплитудам волн с точностью до кубических нелинейностей включительно, получим следующую систему уравнений:

$$\begin{aligned} \frac{dw}{d\xi} &= \frac{1}{4} [(\mu|\rho|^2 + |\varepsilon|^2 - |\varepsilon_0|^2) + 6\mu|A|^2], \\ \frac{d\rho}{d\xi} &= -2i \left[1 + \frac{3}{8}\mu(\mu|\rho|^2 + |\varepsilon|^2 - |\varepsilon_0|^2) + \frac{3}{2}\mu^2|A|^2 \right] A, \\ \frac{dA}{d\xi} &= -\frac{i}{2} \exp\{-i\omega\} \left(1 - i\mu \frac{d}{d\xi} \right) \tilde{\rho} - \frac{1}{2} v \varepsilon \exp\{-i\omega\}, \\ \frac{d\varepsilon}{d\xi} + i\eta_0\varepsilon &= v\rho, \\ \tilde{\rho} &= \rho \exp\{i\omega\}. \end{aligned} \quad (22)$$

Исключая A из системы (22) и переходя с помощью представления

$$\varepsilon = \varepsilon' \exp\{-i\eta_0\xi - i\omega\}, \quad \tilde{\rho} = \rho' \exp\{-i\eta_0\xi - i\omega\} \quad (23)$$

к медленно меняющимся амплитудам ε' и ρ' , запишем уравнения (22) в виде (штрихи далее опускаем):

$$\begin{aligned} \frac{d\varepsilon}{d\xi} &= v\rho, \\ \frac{d\rho}{d\xi} - i\Delta\rho &= -\frac{v}{2\eta_0 + \mu} \varepsilon, \\ \Delta &= \frac{3}{8} \eta_0^2 \frac{2(\mu\eta_0 - 4/3) - \mu\eta_0(\mu\eta_0 - 2)}{2\eta_0 + \mu} |\rho|^2. \end{aligned} \quad (24)$$

Здесь Δ — нелинейная расстройка, обусловленная нелинейным сдвигом частоты, а $\eta_0 = -\delta_1$.

Решения системы уравнений (24) стандартным образом выражаются через эллиптические функции и имеют вид ($\rho = |\rho|$, $\varepsilon = |\varepsilon|$)

$$\rho^2 = \rho_{\max}^2 \frac{\text{sn}^2(y, r)}{1 + (\varepsilon_{\max}^2/\varepsilon_0^2) \text{cn}^2(y, r)}, \quad \varepsilon^2 = \frac{\varepsilon_{\max}^2}{1 + (\varepsilon_{\max}^2/\varepsilon_0^2) \text{cn}^2(y, r)}, \quad (25)$$

где

$$r = 1 - \frac{\varepsilon_0^2}{\varepsilon_{\max}^2}, \quad y = \frac{v}{(4 + \mu^2)^{1/4}} \xi, \quad (26)$$

$$\rho_{\max} = 4 \sqrt{\frac{2}{3}} \frac{v^{1/2} (4 + \mu^2)^{1/8}}{\eta_0 [2(4/3 - \mu\eta_0) - \mu\eta_0(2 - \mu\eta_0)]^{1/2}},$$

$$\varepsilon_{\max} = 4 \sqrt{\frac{2}{3}} \frac{v^{1/2} (4 + \mu^2)^{3/8}}{\eta_0 [2(4/3 - \mu\eta_0) - \mu\eta_0(2 - \mu\eta_0)]^{1/2}}.$$

Расстояние, на котором амплитуды ρ и ε достигают своего максимального значения, определяется выражением

$$\xi_0 = \frac{(4 + \mu^2)^{1/4}}{v} \ln \left(2 \sqrt{2} \frac{\varepsilon_{\max}}{\varepsilon_0} \right), \quad (27)$$

а эффективность преобразования кинетической энергии пучка в энергию излучения, или КПД, и формула для выходной мощности излучения имеют вид

$$K = \frac{\mu}{8} \sqrt{4 + \mu^2} \rho^2, \quad P_{\text{ох}} = \frac{mc^2}{e} (\gamma - 1) J_b K. \quad (28)$$

В случае слаботочных пучков, когда $\mu \ll 1$ и основным механизмом нелинейной стабилизации является торможение пучка, выражения (25)–(28) существенно упрощаются:

$$y = \frac{v}{\sqrt{2}} \xi, \quad \xi_0 = \frac{\sqrt{2}}{v} \ln \left(2 \sqrt{2} \frac{\varepsilon_{\max}}{\varepsilon_0} \right),$$

$$\rho_{\max} = 2 \sqrt[4]{2} v^{1/2}, \quad \varepsilon_{\max} = 2 (2 \sqrt{2})^{1/2} v^{1/2}, \quad (29)$$

$$K_{\max} = \sqrt{2} \mu v \simeq 1,5 \tilde{\alpha}^{1/2} \frac{R_b(x)}{R_b(0)} \left(\frac{J_b}{J_0} \right)^{1/4}.$$

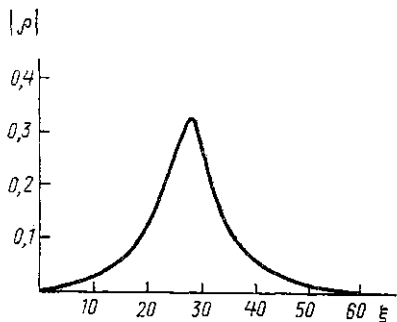
Для сильноточных пучков, когда $\mu \gg 1$ и основной вклад в нелинейный сдвиг частоты дает релятивистская зависимость частоты ленгмюровских колебаний пучка от их амплитуды, формулы (25)–(28) имеют вид

$$y = \frac{v}{\sqrt{\mu}} \xi, \quad \xi_0 = \frac{\sqrt{\mu}}{v} \ln \left(2 \sqrt{2} \frac{\varepsilon_{\max}}{\varepsilon_0} \right),$$

$$\rho_{\max} = 4 \sqrt{\frac{2}{3}} v^{1/2} \mu^{-11/4}, \quad \varepsilon_{\max} = 4 \sqrt{\frac{2}{3}} v^{1/2} \mu^{-9/4}, \quad (30)$$

$$K_{\max} = \frac{4}{3} v \mu^{-7/2} \simeq \tilde{\alpha}^{1/2} \frac{R_b(0)}{R_b(x)} \frac{J_0}{J_b}.$$

Отметим, что справедливость использованного выше аналитического метода подтверждается прямым численным моделированием исходной системы уравнений (2). На рисунке в качестве примера изображена пространственная динамика величины $|\rho|$ ($|\varepsilon|$ ведет себя аналогично) при следующих параметрах системы: $\gamma = 2$; $R = 1,8$ см; $r_p = 0,9$ см; $r_b = 1,44$ см; $x = 4,5$; $\omega_p = 25 \cdot 10^{10}$ с $^{-1}$; $J_b/J_0 = 3$. В этом случае $\mu = 1,48$; $v = 0,64$. Вид-



Пространственная динамика величины $|\rho|$ для $J_b/J_0 = 3$

но, что решение имеет «солитонный» характер в соответствии с формулами (25), а $|\rho|_{\max} \approx 0,32$. Из общего аналитического выражения (26) следует: $\rho_{\max} \approx 0,34$. Впервые такие численные решения на примере более простой пучково-плазменной системы получены в работе [6].

В заключение отметим, что использование поперечно-неоднородных пучково-плазменных волноводов в режиме коллективного эффекта Черенкова, как следует из результатов работы, позволит реализовать эффективные усилительные устройства микроволнового диапазона.

ЛИТЕРАТУРА

- [1] Кузелев М. В., Мухаметзянов Ф. Х., Шкварунец А. Г. // Физика плазмы. 1983. 9, № 6. С. 1137. [2] Кузелев М. В., Мухаметзянов Ф. Х., Рабинович М. С. и др. // ЖЭТФ. 1982. 83, № 10. С. 1358. [3] Кузелев М. В., Рухадзе А. А., Стрелков П. С. и др. // Физика плазмы. 1987. 13, № 11. С. 1370. [4] Александров А. Ф., Кузелев М. В., Халилов А. Н. // Физика плазмы. 1988. 14, № 4. С. 455. [5] Кузелев М. В., Рухадзе А. А. Электродинамика плотных электронных пучков в плазме. М., 1990. [6] Кузелев М. В., Рухадзе А. А., Санадзе Г. В. // ЖЭТФ. 1985. 89, № 5 (11). С. 1620. [7] Ватсон Г. Н. Теория бесселевых функций. М., 1949. Ч. 1. [8] Кузелев М. В., Романов Р. В., Селиванов И. А. и др. Препринт ИОФ АН СССР. № 23. М., 1991. [9] Вильгельмссон Х., Вейланд Я. Когерентное нелинейное взаимодействие волн в плазме. М., 1981. [10] Кузелев М. В., Рухадзе А. А., Бобылев Ю. В., Панин В. А. // ЖЭТФ. 1986. 91, № 5 (11). С. 1620. [11] Кузелев М. В., Панин В. А., Плотников А. П., Рухадзе А. А. // ЖЭТФ. 1989. 96, № 3 (9). С. 865.

Поступила в редакцию
10.07.91

ВЕСТН. МОСК. УН-ТА. СЕР. 3, ФИЗИКА. АСТРОНОМИЯ. 1992. Т. 33, № 5

УДК 621.385.6

ВЛИЯНИЕ ПОПЕРЕЧНОЙ НЕОДНОРОДНОСТИ ПОЛЯ НАКАЧКИ НА ДВИЖЕНИЕ ЭЛЕКТРОНОВ В НЕАДИАБАТИЧЕСКИХ МАГНИТНЫХ ОНДУЛЯТОРАХ С ВЕДУЩИМ МАГНИТНЫМ ПОЛЕМ

В. А. Кубарев

(кафедра физической электроники)

Для реализации оптимальных режимов излучения винтовых пучков релятивистских электронов требуется определенное значение их питч-фактора. При этом наличие поперечной неоднородности поля накачки в реальных ондуляторах приводит к двум основным следствиям: расширению нелинейного резонанса и дрейфу ведущих центров частиц. Развита теория этих эффектов для симметричных и несимметричных ондуляторов с однородным ведущим магнитным полем.

Магнитные ондуляторы различных конструкций [1] широко используются для формирования криволинейных пучков релятивистских электронов, применяемых в СВЧ-устройствах с поперечным взаимодействием. Наложение ведущего магнитного поля в области транспортировки пучка и реализация режима резонансной накачки позволяет существенно снизить требуемую величину ондуляторного поля [2]. При этом наибольший поперечный импульс частиц достигается в случае неадиабатических ондуляторов.

Для уменьшения скоростного разброса электронов необходимо обеспечить минимальную неоднородность поля накачки на толщине пучка h , что может быть реализовано в ондуляторах симметричной — плоской [1] или коаксиальной [3] — конструкции при инжекции реля-